



БИООРГАНИЧЕСКАЯ ХИМИЯ

том 4 * № 8 * 1978

УДК 547.963.32

(R)- И (S)-2' : 3'-О-АДАМАНТИЛФОСФОНАТЫ ПУРИНОВЫХ НУКЛЕОЗИДОВ

Недорезова Т. П., Мельник С. Я., Ярцева И. В.,
Преображенская М. Н.

Оncологический научный центр
Академии медицинских наук СССР, Москва

Взаимодействием аденоцина и 9-(β -D-рибофуранозил)-6-метилтиопурина или их 5'-O-производных с дихлорангидридом адамантил-1-фосфоновой кислоты осуществлен синтез соответствующих 2' : 3'-O-адамантилфосфонатов и выделены изомеры, отличающиеся конфигурацией у атома фосфора. Методом ПМР установлена R- или S-конфигурация циклофосфонатов. Осуществлен гидролиз циклофосфонатов при рН 9,0 и 1,0.

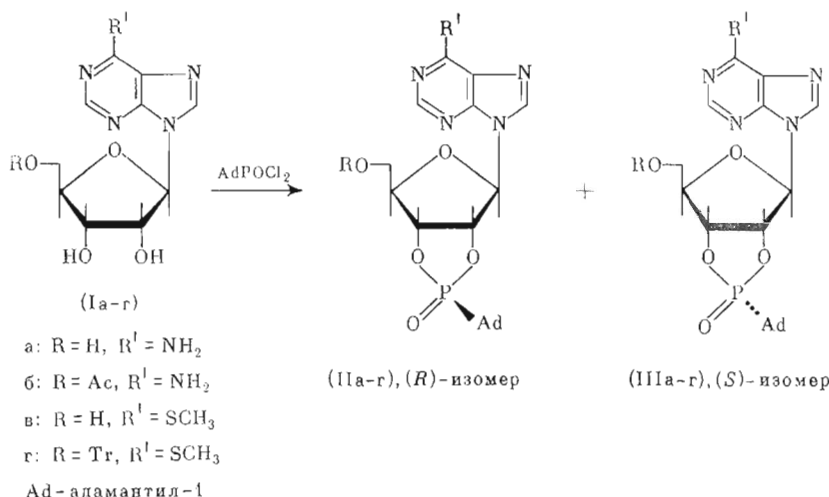
Ранее мы показали, что при взаимодействии урицина, 5-бром-, 5-фтор-, 6-азаурицина или их 5'-O-производных с дихлорангидридом адамантил-1-фосфоновой кислоты (AdPOCl_2) образуется смесь диастереомерных по фосфору 2' : 3'-O-адамантилфосфонатов соответствующих нуклеозидов [1, 2]. Эти соединения представляют интерес как аналоги природных 2',3'-циклонуклеотидов с асимметрическим атомом фосфора. В настоящем сообщении изучена реакция аденоцина (Ia) и 6-метилтио-9-(β -D-рибофуранозил)пурина (Ib) и их 5'-O-производных (Ib) и (Ig) с AdPOCl_2 .

При нагревании аденоцина с AdPOCl_2 в пиридине (80—100°) в течение 15 ч в реакционной массе остается ~50% исходного нуклеозида и образуется многокомпонентная смесь, из которой препаративной ТСХ был выделен 2' : 3'-O-адамантилфосфонат (IIa) с выходом 15%; разделить остальные компоненты смеси не удалось.

При действии AdPOCl_2 на 6-метилтио-9-(β -D-рибофуранозил)пурина (Ib) при 70° в течение 30 ч, как и в случае аденоцина, в реакционной массе остается значительное количество исходного нуклеозида и образуется многокомпонентная смесь, из которой препаративной ТСХ выделен 2' : 3'-O-адамантилфосфонат 6-метилтио-9-(β -D-рибофуранозил)пурина (IIb) с выходом 3%.

Из 5'-O-ацетиладеноцина (Ib) диастереомерные 2' : 3'-O-адамантилфосфонаты (IIb) и (IIIb) образуются в соотношении 2,5 : 1. Соединение (IIb) получено также ацетилированием циклофосфоната (IIa).

Реакцией 5'-O-тритилпроизводного (Ig) с AdPOCl_2 получена смесь диастереомерных 2' : 3'-O-адамантилфосфонатов 6-метилтио-9-(5'-O-тритил- β -D-рибофуранозил)пурина (IIg) и (IIIg) с выходом 50%. Детритилированием и последующим хроматографическим разделением были получены индивидуальные циклофосфонаты (IIv) и (IIIv) в соотношении 3 : 1. Циклофосфонат (IIv) идентичен соединению, полученному при взаимодействии (Ib) с AdPOCl_2 .



В УФ-спектрах соединений (IIa), (IIб) и (IIIб) имеется максимум поглощения при 259 нм, характерный для аденоцина, а в УФ-спектрах соединений (IIв) и (IIIв) — при 283 нм, совпадающий с максимумом поглощения исходного нуклеозида (Iв).

Спектры КД соединений (IIa), (IIб), (IIIб), а также (IIв), (IIIв) по положению и знаку эффекта Коттона аналогичны спектрам КД нуклеозидов (Ia) и (Iв) соответственно. Эти циклофосфонаты неподвижны при электрофорезе на бумаге в фосфатно-щелочном буфере при pH 7,4 и в боратном буфере при pH 9,2.

В масс-спектрах всех изученных соединений имеются пики молекулярных ионов (M^+) с m/e 447 (IIa), 489 (IIб) и (IIIб), 478 (IIв) и (IIIв). Характер фрагментации для каждой пары изомеров одинаков. Для всех спектров характерно наличие интенсивного пика с m/e 313, отвечающего фрагменту ($M - B$)⁺, а также пиков фрагментов ($M - H_2O$)⁺ и ($M - H_2O - B$)⁺. Самым интенсивным пиком во всех масс-спектрах является пик с m/e 135 (Ad⁺). Распаду адамантилфосфонатной группы соответствуют пики с m/e 217 (AdPO₃H₂ + H)⁺ и 216 (AdPO₃H₂)⁺. В масс-спектрах соединений (IIб) и (IIIб) имеются пики, связанные с фрагментацией ацетоксиметильной группы: m/e 447 ($M - 42$)⁺, 446 ($M - Ac$)⁺, 430 ($M - AcO$)⁺ и 416 ($M - AcOCH_2$)⁺.

Спектры ПМР синтезированных соединений представлены в табл. 1. Сигнал протонов ацетоксигруппы соединений (IIб) и (IIIб) попадает в область мультиплета адамантильной группы, а сигналы протонов 5'-Н и 5"-Н смешены в более слабое поле по сравнению с сигналами протонов для соединений (IIa), а также (IIв) и (IIIв), в которых гидроксильная группа при 5'-С не замещена. Наличие вицинального спин-спинового взаимодействия протонов 2'-Н и 3'-Н с ядром фосфора (см. табл. 2) свидетельствует в пользу циклической структуры фосфонатов (IIa—в) — (IIIб, в) и положения фосфоланового цикла при 2'-С и 3'-С. Конфигурация при атоме фосфора в синтезированных диастереомерных 2' : 3'-О-адамантилфосфонатах определена с использованием зависимости величин химических сдвигов протонов фосфоланового цикла от ориентации Р=О-группы. На основании данных о конфигурации пятичленных фосфоланов [3] и шестичленных фосфорипианов [4] ранее нами было сделано отнесение конфигурации при атоме фосфора в диастереомерных 2' : 3'-О-адамантилфосфонатах пиримидиновых нуклеозидов [5]. Позднее таким же методом была установлена конфигурация 2' : 3'-О-трет-бутил- и 2' : 3'-О-тритилфосфонатов уридина [6, 7]. Дезэкранирующее влияние группы Р=О на протоны 2'-Н и 3'-Н проявляется при их взаимной *цикло*-ориентации в одном из

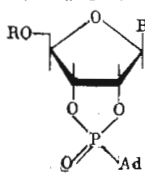
Таблица 1

Химические сдвиги протонов (δ , м.д.) синтезированных соединений

Соединение	8-Н	2-Н	1'-Н	2'-Н	3'-Н	4'-Н	5'-Н	Адамантил-
(IIа)	8,24	8,42	6,38	5,82	5,36	4,36	3,66	1,64-2,04
(IIб)	8,26	8,34	6,38	5,91	5,44	4,19	4,64	1,64-2,04
(IIIб)	8,24	8,32	6,34	5,98	5,48	4,24	4,48	1,64-2,04
(IIв)	8,75	8,64	6,42	5,78	5,31	4,34	3,62	1,86-2,1; 2,78 *
(IIIв)	8,80	8,64	6,40	6,02	5,46	4,44	3,62	1,86-2,1; 2,78 *

* Сигнал протонов метилтиогруппы.

Таблица 2

Сопоставление вицинальных констант спин-спинового взаимодействия
2' : 3'-О-адамантилфосфонатов пиримидиновых и пуриновых нуклеозидов
общей формулы

B	R	Изомер	J, Гц				
			1', 2'	2', 3'	3', 4'	2', Р	3', Р
5-Бромурацил-1	Ac	R	2,0	6,5	5,0	6,5	14
		S	2,5	6,5	3,5	2,5	6,5
5-Фторурацил-1	Ac	R	2,0	7,0	5,0	7,0	14
		S	2,0	6,5	3,5	3,0	6,5
6-Азаурацил-1	Ac	R	1,7	6,5	4,5	6,5	14,5
		S	1,0	6,5	3,0	2,5	6,5
Аденозил-9	H	R	3,0	7,0	4,0	10,5	11,5
Аденозил-9	Ac	R	3,0	7,0	4,5	9,0	14,0
		S	2,5	7,0	3,5	3,5	6,0
6-Метилтиопуринил-9	H	R	3,0	6,5	4,0	10,0	10,5
		S	2,5	7,0	3,5	5,0	5,0

изомеров и приводит к смещению сигналов этих протонов в более слабое поле по сравнению с другим изомером, в котором группа Р=О находится в *транс*-положении. Сопоставление химических сдвигов протонов фосфоланового цикла всех изученных циклофосфонатов пиримидинового и пуринового ряда показывает, что сигналы протонов 2'-Н и 3'-Н R-изомеров, образующихся в большем количестве, находятся в более сильном поле по сравнению с таковыми для S-изомеров, образующихся в меньшем количестве (см. табл. 1). Отсюда следует, что в R-изомерах группа Р=О находится в *транс*-положении, а в S-изомерах — в *цикло*-положении относительно 2'-Н и 3'-Н.

Сопоставление констант вицинального спин-спинового взаимодействия 2' : 3'-О-адамантилфосфонатов пиримидиновых и пуриновых нуклеозидов позволяет отметить некоторые особенности конформационного равновесия этих соединений (табл. 2): так, наблюдаемые значения констант не соответствуют плоской, а также 3'-С-эндо(2'-С-экзо)- или 3'-С-экзо-(2'-С-эндо)-конформациям рибофуранозы. По-видимому, колебания фуранозного кольца существенно ограничены закреплением фрагмента О—С2'—С3'—О в пятичленном фосфолановом цикле. Аналогичная картина наблюдается для природных 2',3'-циклонуклеотидов [8]. Близость значений $J_{2',3'}$ для 2' : 3'-О-алкилфосфонатов (6,5—7,0 Гц) и для 2',3'-

Таблица 3

Вычисленные значения двугранных углов $\text{H}-\text{C}-\text{O}-\text{P}$

Соединение	Двугранный угол, град		Соединение	Двугранный угол, град	
	$\text{H}-\text{C}2'-\text{O}-\text{P}$	$\text{H}-\text{C}3'-\text{O}-\text{P}$		$\text{H}-\text{C}2'-\text{O}-\text{P}$	$\text{H}-\text{C}3'-\text{O}-\text{P}$
(IIa)	132	135	R -(IV) *	122	150
(IIб)	128	142	S -(IV) *	106	122
(IIIб)	140	118	$2':3'$ -UMP [8]	122	136
(IIв)	131	132	$2':3'$ -AMP [8]	132	123
(IIIв)	145	115			

* Изомерные $2':3'$ -O-адамантофосфонаты уридина.

Таблица 4

Значения двугранных углов $\text{H}-\text{C}-\text{O}-\text{P}$, рассчитанные для моделей $2',3'$ -циклоуклеотидов [8]

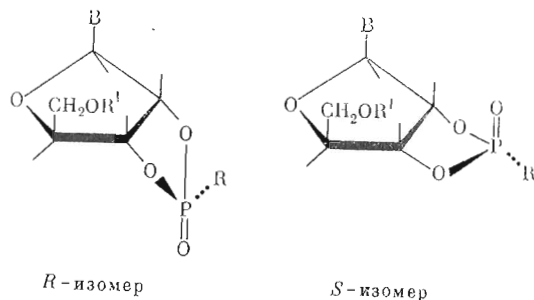
Конформация рибофуранозного цикла	Двугранный угол, град	
	$\text{H}-\text{C}2'-\text{O}-\text{P}$	$\text{H}-\text{C}3'-\text{O}-\text{P}$
Плоская	120	120
$3'-\text{C}$ -эндо($2'-\text{C}$ -экзо)	105	135
$3'-\text{C}$ -экзо($2'-\text{C}$ -эндо)	135	105

циклоуклеотидов ($\sim 6,8$ Гц) свидетельствует о примерно одинаковом ограничении псевдовращения рибозного кольца относительно связи $2'-\text{C}-3'-\text{C}$. Для R -изомеров $2':3'$ -O-адамантофосфонатов пуриновых и пиримидиновых нуклеозидов значения $J_{3',4'}$ больше, чем для S -изомеров (4,0—5,0 и 3,0—3,5 Гц соответственно). Наиболее важны различия в значениях констант $^3J_{\text{H},\text{P}}$ для R - и S -изомеров: для всех соединений $J_{3',\text{P}}$ больше $J_{2',\text{P}}$, лишь для соединения (IIa), а также (IIв) и (IIIв) наблюдается выравнивание значений $J_{3',\text{P}}$ и $J_{2',\text{P}}$; значения $^3J_{\text{H},\text{P}}$ для R -изомеров всегда выше соответствующих величин для S -изомеров.

Для расчета величин двугранных углов $\text{H}-\text{C}-\text{O}-\text{P}$ (θ) $2',3'$ -циклоуклеотидов ранее была использована зависимость $^3J_{\text{H},\text{P}} = J_A \cos 2\theta + J_B \cos \theta = 16,3 \cos 2\theta - 4,6 \cos \theta$ [8]. В табл. 3 приведены величины двугранных углов, вычисленные по этой формуле для синтезированных нами $2':3'$ -O-адамантофосфонатов пуриновых нуклеозидов. Для сравнения даны значения соответствующих углов, рассчитанные нами для пиримидиновых производных на примере $2':3'$ -O-адамантофосфоната уридина (Ха, б), а также значения, полученные для $2':3'$ -AMP и $2':3'$ -UMP [8]. В табл. 4 приведены значения двугранных углов $\text{H}-\text{C}-\text{O}-\text{P}$, рассчитанные для моделей циклоуклеотидов, с $2'-\text{C}$ -эндо($3'-\text{C}$ -экзо)-, $2'-\text{C}$ -экзо($3'-\text{C}$ -эндо)- или плоской конформацией рибофуранозного цикла. Сопоставление данных, приведенных в табл. 3 и 4, показывает, что рибофуранозное кольцо в циклофосфонатах не является плоским. Колебания его в пиримидиновых $2',3'$ -циклофосфонатах таковы, что в среднем угол $\text{H}-\text{C}3'-\text{O}-\text{P}$ во всех случаях сохраняет большее значение, чем угол $\text{H}-\text{C}2'-\text{O}-\text{P}$. Это свидетельствует о том, что вклад $3'-\text{C}$ -эндо($2'-\text{C}$ -экзо)-формы больше, чем вклад $3'-\text{C}$ -экзо($2'-\text{C}$ -эндо), т. е. общий характер конформационного равновесия такой же, как и в пиримидиновых $2',3'$ -циклоуклеотидах. В пуриновых циклоуклеотидах в конформационном равновесии увеличивается вклад $3'-\text{C}$ -экзо($2'-\text{C}$ -эндо)-формы, в нашем случае для соединений (IIв) и (IIIв), а также для (IIa) наблюдается выравнивание величин углов у обоих изомеров. Интересно, что у всех R -изомеров вели-

чины двугранных углов $H-C-O-P$ больше, чем у плоской или $3'-C$ -эндо($2'-C$ -экзо)-модели, а у S -изомеров — меньше.

Анализ молекулярных моделей показывает, что это возможно только в том случае, если в фосфолановом цикле атом фосфора выведен из плоскости таким образом, что и в R - γ , и в S -изомерах остаток адамантана занимает псевдоэкваториальное положение:



Выравнивание величин двугранных углов в случае соединений (IIa), (IIb) и (IIIb) свидетельствует о симметричности фосфоланового цикла. Вследствие этого у соединения (IIIb) анизотропный эффект группы $P=O$ оказывается сильнее, чем у S -изомеров пиримидинового ряда: действительно, разница в величинах химических сдвигов $2'-H$ и $3'-H$ фосфоланового цикла фосфонатов (IIb) и (IIIb) $\Delta\delta$ составляет 0,24 и 0,15 м. д. соответственно, тогда как для $2':3'-O$ -адамантилфосфонатов пиримидиновых нуклеозидов значения $\Delta\delta$ не превышают 0,07 м. д. Остается неясным, почему при такой симметрии фосфоланового цикла для соединений (IIb) и (IIIb) не меняются значения $J_{2',3'}$ по сравнению с другими изученными нами циклофосфонатами.

Мы изучили устойчивость $2':3'-O$ -адамантилфосфонатов пиримидиновых и пуриновых нуклеозидов к щелочному и кислотному гидролизу. Гидролиз циклофосфонатов приводит к смеси $2'(3')-O$ -адамантилфосфонатов нуклеозидов, что подтверждено электрофоретической подвижностью образующихся соединений в фосфатно-щелочном буфере при pH 7,4. Для соединения (IIa) в щелочной среде (pH 9) при 20° время полупревращения $t_{1/2}$ 16 ч, а при 39° — $t_{1/2}$ 5 ч. $2':3'-O$ -Адамантилфосфонат 5-бромурицина гидролизуется наполовину за 9 ч при 39° , причем оба изомера гидролизуются примерно с одинаковой скоростью. В аналогичных условиях производные 6-азаурицина имеют время полупревращения $t_{1/2}$ 3 ч. Кислотный гидролиз соединения (IIa) (pH 1, 20°) идет медленно, а при 50° проходит наполовину за 3 ч. При этом наряду с $2'(3')-O$ -адамантилфосфонатом аденоцина в результате расщепления N-гликозидной связи образуется аденин. $2':3'-O$ -Адамантилфосфонат 6-азаурицина гидролизуется при pH 1 наполовину за 1,5 ч.

Экспериментальная часть

Спектры ПМР сняты на приборе Jeol JNM-MH-100 (Япония) и на приборе Varian XL-100 (США) в d_6 -диметилсульфоксиде при 100° . УФ-спектры сняты на регистрирующем приборе Unicam SP-800 (Англия) в спирте. Спектры КД записаны на приборе Rousell-Jouan II (Франция) в спирте при концентрации 10^{-4} М. Масс-спектры получены на приборе LKB-9000 (Швеция) при непосредственном введении вещества в ионный источник при температуре ионизационной камеры $90-140^\circ$ и энергии ионизации 70 эВ. Электрофорез на бумаге проводили на приборе для горизонтального электрофореза Labor OE-201 (Венгрия) при градиенте напря-

жения 13,5 В/см в течение 2—3 ч в фосфатно-щелочном (рН 7,4) и боратном буфере (рН 9,2). Для ТСХ использовали силуфол УФ-254 (Kavalier, ЧССР). Препартивную хроматографию проводили на пластинах (20×20 см) с силикагелем ЛСЛ₂₅₄ 5—40 мкм (Chemapol, ЧССР) при толщине слоя 1 мм в системах хлороформ — метанол, 10 : 1 (А), этилацетат — изопропиловый спирт — вода, 6 : 2 : 3 (Б), бензол — ацетон, 3 : 1 (В), бензол — ацетон, 1 : 1 (Г). Дихлорангидрид адамантил-1-фосфоновой кислоты получали в соответствии с работой [9]. 6-Метилтио-9-(β -D-рибоуранозил)пурин (Ів) синтезирован по описанной методике [10] с некоторыми усовершенствованиями. 5'-О-Ацетиладенозин (Іб) получали по методике работы [11].

2' : 3'-O-(адамантил-1)фосфонат аденоцина (ІІа). К раствору 1 г (3,7 ммоль) аденоцина в 20 мл безводного пиридина добавляли 1 г (3,9 ммоль) AdPOCl₂ и нагревали 15 ч при 80—100°. Реакционную смесь охлаждали, выливали в 200 мл охлажденной льдом воды, выпавший осадок отделяли, раствор экстрагировали хлороформом (5×30 мл). Объединенные экстракты сушили сульфатом магния, растворитель отгоняли в вакууме, остаток хроматографировали в системе А, выделяли 220 мг (13%) циклофосфоната (ІІа), т. пл. 252—255°, R_f 0,4 (Б). УФ: $\lambda_{\text{макс}}$ 259 нм, ϵ 12 000. КД: [θ] ($\lambda_{\text{макс}}$, нм): 0 (287), —5808 (269), —4224 (260). Найдено, %: С 53,62; Н 6,05; N 14,97; Р 7,15. C₂₀H₂₆N₅O₅P. Вычислено, %: С 53,68; Н 5,85; N 15,65; Р 6,92.

2' : 3'-O-(адамантил-1)фосфонат 5'-O-ацетиладеноцина (ІІб) и (ІІІб). К раствору 0,1 г (0,2 ммоль) соединения (ІІа) в 2 мл безводного пиридина прибавляли 0,1 мл уксусного ангидрида. Через 4 ч реакционную смесь выливали при перемешивании в 10 мл воды, экстрагировали хлороформом (4×10 мл), хлороформный экстракт промывали водой (2×10 мл), сушили сульфатом натрия. Растворитель отгоняли в вакууме, остаток хроматографировали в системе А. Получали 0,07 г (65%) 5'-O-ацетильного производного (ІІб), т. пл. 228—230°, R_f 0,47 (Б). УФ: $\lambda_{\text{макс}}$ 259 нм, ϵ 10 000. КД: [θ] ($\lambda_{\text{макс}}$, нм): 0 (287), —2728 (265), —1591 (260). Найдено, %: С 53,53; Н 6,00; N 13,62; Р 6,54. C₂₂H₂₈N₅O₆P. Вычислено, %: С 53,98; Н 5,77; N 14,34; Р 6,55.

К раствору 1,0 г (3,2 ммоль) 5'-O-ацетиладеноцина в 20 мл безводного пиридина прибавляли 1,2 г (4,7 ммоль) AdPOCl₂ и нагревали 72 ч при 60°. Дальнейшая обработка и разделение такие же, как описано выше. Получали 0,9 г (57%) соединения (ІІб) и 0,35 г (22,2%) соединения (ІІІб), т. пл. 250—254°, R_f 0,39 (Б). УФ: $\lambda_{\text{макс}}$ 259 нм, ϵ 10 000.

2' : 3'-O-(адамантил-1)фосфонат 6-метилтио-9-(β -D-рибоуранозил)пурина (ІІв) и (ІІІв). К раствору 1 г нуклеозида (Ів) в 20 мл безводного пиридина прибавляли 1 г (3,9 ммоль) AdPOCl₂ и нагревали 30 ч при 70°. Дальнейшая обработка и выделение такие же, как описано выше. Получали 0,04 г (3%) циклофосфоната (ІІв), т. пл. 154—158°, R_f 0,58 (Г). УФ, $\lambda_{\text{макс}}$, нм (ϵ): 290 (17 600), 283 (17 800). КД [θ] ($\lambda_{\text{макс}}$, нм): 0 (300), —4620 (280), 0 (265). Найдено, %: С 53,26; Н 6,07; N 10,92; Р 6,36. C₂₁H₂₇N₄O₅P. Вычислено, %: С 52,71; Н 5,69; N 11,71; Р 6,47.

К раствору 1,3 г (2,4 ммоль) соединения (Іг) [12] в 20 мл безводного пиридина прибавляли 0,7 г (2,8 ммоль) AdPOCl₂ и нагревали 4,5 ч при 100°. Реакционную массу охлаждали, выливали при перемешивании в 200 мл охлажденной льдом воды. Осадок отделяли, промывали водой, сушили в вакууме над P₂O₅. Препартивной ТСХ в системе В выделяли 0,8 г (50%) смеси (ІІг) и (ІІІг), R_f 0,58 (В). УФ, $\lambda_{\text{макс}}$, нм (ϵ): 291 (4900), 283 (5000). Раствор 1 г смеси (ІІг) и (ІІІг) в 2 мл 90% трифторуксусной кислоты выдерживали 5 мин при 20° и упаривали в вакууме, добавляя метанол. Остаток разделяли препартивной ТСХ в системе Г. Получали 0,1 г исходной смеси, 0,3 г (45%) циклофосфоната (ІІв) и 0,1 г (15%) циклофосфоната (ІІІв), т. пл. 244—245°, R_f 0,47 (Г). УФ, $\lambda_{\text{макс}}$, нм (ϵ): 290 (17 600), 283 (17 800). КД [θ] ($\lambda_{\text{макс}}$, нм): 0 (305), —7290 (290), —7260

(286), —7920 (283), 0 (265). Найдено, %: С 52,96; Н 5,69; N 11,30; Р 6,45; S 6,37. C₂₁H₂₇N₄O₅PS. Вычислено, %: С 52,71; Н 5,69; N 11,71; Р 6,47; S 6,70.

Гидролиз 2'-3'-O-(адамантил-1)-фосфонатов нуклеозидов. Образец циклофосфоната (50 мкмоль) растворяли в 0,9 мл этанола и прибавляли 0,1 мл 1 н. HCl или то же количество циклофосфоната растворяли в 0,5 мл этанола и прибавляли 0,5 мл 0,3 М трис-HCl-буфера (рН 9,0). Через 15—30 мин пробы из реакционной массы наносили на бумагу и проводили электрофорез в боратном буфере. Пятна с E_{UMP} 1/3 и E_{UMP} 0 вырезали и элюировали 3 мл этанола. Степень гидролиза определяли по соотношению оптической плотности образующегося 2'(3')-O-фосфоната и исходного соединения.

ЛИТЕРАТУРА

1. Преображенская М. Н., Мельник С. Я., Олейник Д. М., Шепелева Е. С., Турчин К. Ф., Санин П. И. (1976) Биоорганская химия, 2, 627—631.
2. Melnik S. Ya., Nedorezova T. P., Preobrazhenskaya M. N. (1975) J. Carbohyd. Nucleosides, Nucleotides, 2, 413—418.
3. Bentruude W. G., Tan H.-W. (1976) J. Amer. Chem. Soc., 98, 1850—1859.
4. Bentruude W. G., Tan H.-W., Yee K. (1972) J. Amer. Chem. Soc., 94, 3264—3266.
5. Preobrazhenskaya M. N., Melnik S. Ya., Nedorezova T. P., Shingarova I. D., Oleynik D. M. (1978) in Chemistry and Biology of Nucleosides and Nucleotides (Harmont R., ed.), Acad. Press, Inc., N. Y., in press.
6. Shingarova I. D., Melnik S. Ya., Preobrazhenskaya M. N. (1978) Carbohyd. Res., in press.
7. Шингарова И. Д., Мельник С. Я., Ярцева И. В., Борисенко А. А., Преображенская М. Н. (1977) Биоорганская химия, 3, 1034—1040.
8. Lapper R. D., Smith I. C. P. (1973) J. Amer. Chem. Soc., 95, 2880—2884.
9. Stetter H., Last W.-D. (1969) Chem. Ber., 102, 3364—3366.
10. Fox J. J., Wempen J., Hampton A., Doerr I. L. (1958) J. Amer. Chem. Soc., 80, 1669—1675.
11. Michelson A. M., Szabo L., Todd A. R. (1956) J. Chem. Soc., 1546—1552.
12. Jarman M., Kuszmann J., Stock J. (1969) Biochem. Pharmacol., 18, 2473—2484.

Поступила в редакцию
18.I.1978

(R)- AND (S)-2', 3'-O-ADAMANTYLPHOSPHONATES OF PURINE NUCLEOSIDES

NEDOREZOVA T. P., MELNIK S. Ya., YARTSEVA I. V.,
PREOBRAZHENSKAYA M. N.

Cancer Research Center, Academy of Medical Sciences of the USSR,
Moscow

By the reaction of adenosine and 6-methylthio-9- β -D-ribofuranosylpurine or their 5'-O-derivatives with 1-adamantylphosphonodichloride the appropriate nucleoside 2', 3'-O-adamantylphosphonates were synthesized, whereby the isomers differing by configuration at P were separated. (R)- or (S)-configuration of diastereomers was ascertained by PMR spectroscopy. Hydrolysis of cyclophosphonates was performed at pH values 9.0 and 1.0.